



# БИООРГАНИЧЕСКАЯ ХИМИЯ

Том 17 \* № 3 \* 1991

УДК 577.112.088.1

© 1991 г.

*Г. В. Гололобов, А. М. Шустер\*, И. К. Залите\*,  
А. Г. Габибов, А. Г. Рабинков*

## СИНТЕЗ И ВЫДЕЛЕНИЕ МЕТОДОМ ВЫСОКОЭФФЕКТИВНОЙ ЖИДКОСТНОЙ ХРОМАТОГРАФИИ ВЫСОКОЧУВСТВИТЕЛЬНЫХ ОЛИГОМЕРНЫХ КОНЪЮГАТОВ АВИДИН—ПЕРОКСИДАЗЫ

*Институт молекулярной биологии им. В. А. Энгельгардта АН СССР, Москва;  
\* НПО «Биолар» АН СССР, Рига*

Предложен метод синтеза и очистки с помощью ВЭЖХ высокочувствительных олигомерных конъюгатов авидин—пероксидазы для целей микродетекции. Установлено, что в ходе синтеза образуются олигомеры различного стехиометрического состава. Проведена очистка высокоактивных олигомеров авидин—пероксидазы, основанная на применении высокоэффективной гидрофобной жидкостной хроматографии, и показано, что наибольшей чувствительностью обладают олигомеры молекулярной массы 150 и 220 кДа, в которых на одну молекулу авидина приходится 2 и 4 молекулы пероксидазы соответственно.

Авидин-биотиновая система получила широкое распространение как надежный и чувствительный способ неизотопной детекции микроКоличеств биополимеров [1, 2]. Различают два основных способа формирования авидин-биотиновых агрегатов: 1) биотинилированная макромолекула — авидин — биотинилированный фермент; 2) биотинилированная макромолекула — конъюгат авидин—фермент.

Во многих случаях второй способ с использованием белкового конъюгата позволяет добиться большей воспроизводимости и чувствительности [3]. Одним из наиболее распространенных ферментов, используемых в этой системе, является пероксидаза. Приготовить конъюгат Av — HRP можно, используя различные способы модификации функциональных групп белков [4]. Простым и дешевым способом получения конъюгата Av—HRP является, например, образование Шиффа между альдегидными группами окисленного периодатом углеводного компонента пероксидазы и аминогруппами авидина [5, 6]. В результате реакции образуются комплексы различного стехиометрического состава. Высокомолекулярные комплексы обладают высокой неспецифической сорбцией, что приводит к увеличению фона и снижению чувствительности детекции при использовании этого проявляющего агента. Синтез конъюгатов с помощью гетерофункциональных реагентов позволяет обеспечить стехиометрическое связывание авидина с ферментом и относительно высокий выход активного продукта [7]. К недостаткам этой процедуры следует отнести большую трудоемкость по сравнению с периодатным методом и относительно большую стоимость используемых реагентов. Представляется целесообразным усовершенствовать периодатный метод получения конъюгатов авидин—фермент с целью выделения высокоактивных олигомерных форм, способных обеспечить в качестве проявляющего агента высокую чувствительность при минимальной неспецифической сорбции. Этой задаче и посвящено настоящее исследование. В качестве модельного объекта для микродетекции выбран b-BSA.

Использованные сокращения: HRP — пероксидаза хрена, Av — авидин, BSA — бычий сывороточный альбумин, b-BSA — биотинилированный бычий сывороточный альбумин, ABTS — 2,2'-азино-ди(3-этилбензтиазолин-6-сульфокислота), НАВА — 2-(4-гидроксибензоазо)бензойная кислота.

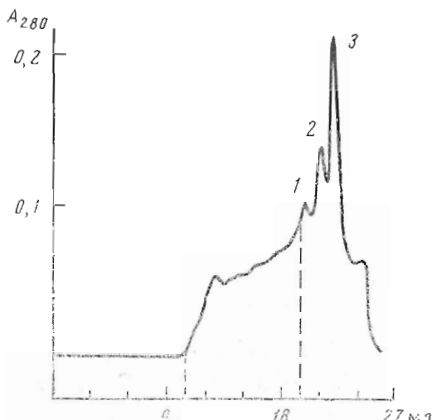


Рис. 1. Гель-фильтрация конъюгатов  $\text{Av}-\text{HRP}$  после восстановления  $\text{NaBH}_4$ . Колонка TSK G4000Sw. Элюент — 0,1 М  $\text{NaOAc}$  ( $\text{pH } 5,0$ ), 0,2 М  $\text{NaCl}$ . Скорость потока 0,3 мл/мин. В объеме элюции 11–20 мл — полимерные фракции с молекулярными массами  $2 \cdot 10^6$  —  $3 \cdot 10^5$  Да. 1 —  $\text{Av}-\text{HRP}_4$ ,  $M = 220$  кДа; 2 —  $\text{Av}-\text{HRP}_2$ ,  $M = 150$  кДа; 3 —  $\text{HRP}$  и  $\text{Av}$ ,  $M = 40$  и 68 кДа соответственно

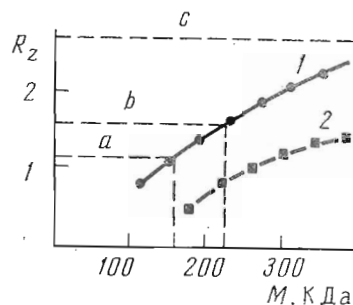


Рис. 2. Теоретические кривые значений  $R_z$  в зависимости от молекулярных масс олигомеров состава  $\text{Av}_1-\text{HRP}_k$  (1) и  $\text{Av}_2-\text{HRP}_k$  (2). Штриховые линии «*a*» и «*b*» показывают соотношение олигомерных фракций  $R_z = 1,17$ ,  $M = 150$  кДа и  $R_z = 1,6$ ,  $M = 220$  кДа с теоретической кривой для конъюгатов  $\text{Av}_1-\text{HRP}_k$  (см. «Экспер. часть»)

Окисленная пероксидаза легко взаимодействует с авидином. Как видно из профиля элюции при гель-фильтрации (рис. 1), полученный препарат  $\text{Av}-\text{HRP}$  содержит смесь различных продуктов, причем большую часть составляют полимерные формы с молекулярными массами  $(0,3-2) \cdot 10^6$  Да, затем следуют активные олигомерные фракции (пики 1 и 2, рис. 1). Последней выходит смесь непрореагировавших авидина и пероксидазы.

Как видно из рис. 1, даже при высоком разрешении с использованием метода ВЭЖХ довольно сложно разделить наиболее чувствительные олигомерные формы конъюгатов  $\text{Av}-\text{HRP}$ , неактивные полимеры и исходные непрореагировавшие белки. Полимерные формы, обладая слабой активностью, резко повышают фон вследствие неспецифической сорбции при последующей детекции, а непрореагировавший авидин конкурирует с конъюгатом за связывание с биотинилированным биополимером. Таким образом, использование для детекции микроколичеств биополимера неочищенного препарата конъюгата  $\text{Av}-\text{HRP}$  требует внесения большего, чем необходимо, количества вещества по белку, что увеличивает фон и не позволяет добиться оптимальных значений чувствительности. Олигомерные формы конъюгата, содержащиеся в пиках 1 и 2 рис. 1, обладают молекулярными массами 220 и 150 кДа соответственно.

При изучении факторов, влияющих на выход высокоактивных олигомерных форм в ходе синтеза конъюгата, было обнаружено, что процесс образования олигомерных форм pH-зависим. Так, при  $\text{pH } 8,5$  наблюдается минимальное образование полимерных фракций. При этом выход активного конъюгата не превышает 10% (в основном форма с  $M = 150$  кДа). При  $\text{pH } 9,0$  до 20% конъюгата представлено полимерными формами, а фракция активных олигомеров составляет 20–30% (соотношение конъюгатов с  $M = 150$  и 220 кДа равно 2:1). При  $\text{pH } 9,5$  содержание полимерных фракций возрастает до 40–50%, а выход активного конъюгата — до 30% (соотношение конъюгатов с  $M = 150$  и 220 кДа составляет 1:1). Увеличение ионной силы буфера приводит к снижению образования полимерных форм. Оптимальным в наших условиях являлся 0,1–0,2 М натрий-бикарбонатный буфер,  $\text{pH } 9,0$ : выход полимеров составил не более 10%. На концентрацию активных олигомеров ионная сила буфера оказывала незначительное влияние.

Для установления структуры активных олигомерных форм  $\text{Av}-\text{HRP}$  мы прибегли к анализу оптических свойств конъюгатов и исходных белков.

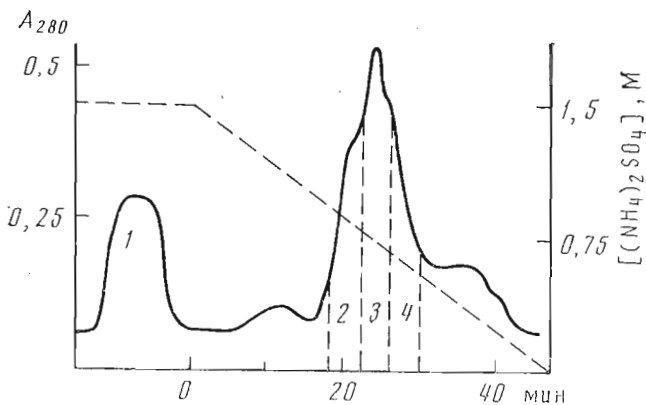


Рис. 3. Высокоэффективная гидрофобная хроматография конъюгатов Av—HRP. Колонка TSK Phenyl 5PW. Скорость потока 0,5 мл/мин. Фракция 1 — свободный авидин, фракции 2—4 содержат активные олигомеры Av—HRP

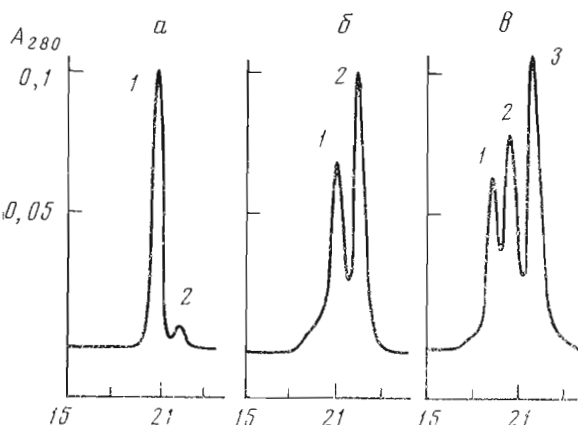


Рис. 4. Рехроматография фракций 2—4 (рис. 3) с использованием гель-фильтрации. Условия см. рис. 1. *a* — фракция 2: 1 —  $M = 150$  кДа,  $\text{Av}_1 - \text{HRP}_2$ ; 2 — HRP; *b* — фракция 3: 1 —  $M = 150$  кДа,  $\text{Av}_1 - \text{HRP}_2$ ; 2 — HRP; *c* — фракция 4: 1 —  $M = 220$  кДа,  $\text{Av}_1 - \text{HRP}_4$ , 2 —  $M = 150$  кДа,  $\text{A}_1 - \text{HRP}_2$ , 3 — HRP

Экспериментально найденные величины  $A_{403}/A_{280}$  ( $R_z$ ) дали возможность соотнести их молекулярные массы с данными, полученными из зависимости теоретически рассчитанных значений  $R_z$  и молекулярных масс олигомеров Av—HRP различного стехиометрического состава (см. рис. 2). Экспериментально найденные значения  $R_z$  для форм Av—HRP, содержащихся в пиках 1 и 2 (рис. 1), составили 1,6 и 1,17. Как видно из рис. 2, эти величины с учетом найденных молекулярных масс соотносятся с теоретической кривой  $\text{Av}_1 - \text{HRP}_k$ . Это позволяет заключить, что выделенные активные олигомеры Av—HRP с молекулярной массой 150 и 220 кДа имеют вероятное строение  $\text{Av}_1 - \text{HRP}_2$  и  $\text{Av}_1 - \text{HRP}_4$ .

Трудности отделения активных олигомерных форм конъюгатов с молекулярными массами  $\sim 300$  кДа от более высокомолекулярных и малоактивных полимеров и исходных непрореагировавших белков поставили задачу поиска альтернативных гель-фильтраций путей их выделения. В наших исследованиях весьма эффективным и воспроизводимым показал себя метод, основанный на хроматографии гидрофобного взаимодействия. Внесение в реакционную смесь по завершении синтеза конъюгата 1,5 М сульфата аммония позволило осадить большую часть полимерных форм конъюгата. Как видно из профиля элюции, после нанесения конъюгата на колонку TSK Phenyl SPW (рис. 3), авидин не связывается с гидрофобным сорбентом и элюируется стартовым буфером.

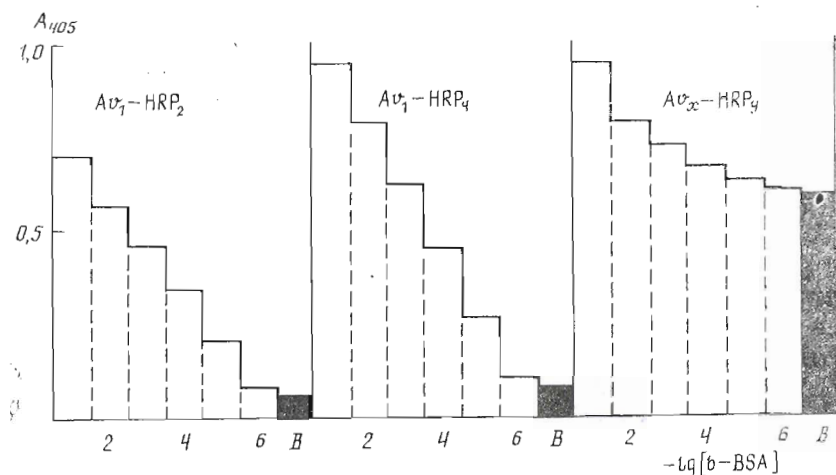


Рис. 5. Чувствительность различных конъюгатов  $\text{Av}-\text{HRP}$ , определенная твердофазным методом.  $b$ -BSA использован в качестве модельного биотинилированного полимера. Подробности см. в «Экспер. части». В — фон

Анализ фракций 2—4, полученных при гидрофобной хроматографии (см. рис. 3) методом гель-фильтрации (рис. 4), позволил заключить, что элюция различных компонентов смеси при снижении концентрации сульфата аммония происходит в следующем порядке:  $\text{Av}_1-\text{HRP}_2$ ,  $\text{HRP}$ ,  $\text{Av}_1-\text{HRP}_4$  и далее  $\text{Av}_1-\text{HRP}_n$ -полимеры. Таким образом, методом гидрофобной хроматографии можно легко выделить фракцию олигомерных форм  $\text{Av}-\text{HRP}$ , не содержащую препятствующих микродетекции примесей.

На рис. 5 представлены данные, позволяющие сравнить чувствительность выделенных олигомеров при детекции  $b$ -BSA. Наибольшей чувствительностью обладают олигомеры структуры  $\text{Av}_1-\text{HRP}_2$  и  $\text{Av}_1-\text{HRP}_4$ , причем чувствительность второго олигомера несколько выше. Видно, что в обоих случаях значительного превышения над фоном удается достичь при определении  $b$ -BSA в количестве 1  $\mu\text{g}$  (5-я точка по оси абсцисс, рис. 5). Это значение количества определяемого биотинилированного биополимера позволяет использовать предложенную проявляющуюся систему для практических целей микродетекции. Полимерные фракции  $\text{Av}_x-\text{HRP}_y$  (рис. 5), хотя и обладают авидин-пероксидазной активностью, из-за высокой неспецифической сорбции (см. соотношение фон — опыт) мало пригодны для целей микродетекции. Но всей видимости, именно они, составляя значительную часть белкового материала в неочищенных препаратах конъюгатов авидин-пероксидаза, увеличивают неспецифический фон.

Таким образом, предложенный метод выделения олигомерных фракций  $\text{Av}-\text{HRP}$  с помощью хроматографии гидрофобных взаимодействий, позволяет получить препараты конъюгата максимальной удельной активности.

#### Экспериментальная часть

В работе использовали  $D$ -биотин, BSA (Sigma, США), пероксидазу хрена —  $R_z$  2,8 (Биолар, СССР), НАВА, ABTS (Serva, ФРГ), СМ-триаскарпил (ЛКВ, Швеция). Авидин очищали по описанному ниже методу. Маркерные мелки ( $M$ , кДа): каталаза (232), альдолаза (158, 67), овалбумин (43) химотрипсиноген А (25) (Pharmacia, Швеция).

**Получение и очистка авидина.** Яичный белок отделяли от желтка и разводили диеионизованной водой в соотношении 1 : 1. К полученному раствору добавляли сульфат аммония до 60% от насыщения, центрифугировали 30 мин при 10 000 $\times g$ . К супернатанту добавляли сульфат аммония до 100% насыщения и центрифугировали 30 мин при 10 000 $\times g$ . Осадок растворяли в диеионизированной воде и добавляли равный объем охлажденного до  $-70^{\circ}\text{C}$  этилового спирта. Затем проводили центрифugирование в течение 15 мин при 10 000 $\times g$ . Осадок экстрагировали 0,05 M NaOAc, pH 4,5. Экстракт центрифугировали 10 мин при 10 000 $\times g$ . Осадок подвергали повтор-

ной экстракции и центрифугированию. Супернатанты объединяли, диализовали в течение ночи против 0,05 М  $\text{NH}_4\text{OAc}$  и наносили на колонку ( $2 \times 5$  см) с CM-трипакрилом (Pharmacia, Швеция), уравновешенную тем же буфером. Условия хроматографии были близкими описанным в работе [8]. Колонку промывали 0,05 М  $\text{NH}_4\text{OAc}$ , pH 9,0. Пик балластных белков элюировали 0,5%  $(\text{NH}_4)_2\text{CO}_3$ , авидин — 1%  $(\text{NH}_4)_2\text{CO}_3$ .

*Характеристика препарата авидина.* Активность выделенного авидина измеряли методом [9] с применением гидрофобного красителя НАВА (Serva, ФРГ). Она составила 13—14,5 мкг биотина на 1 мкг белка. Чистоту препарата проверяли электрофорезом в присутствии SDS. Препарат был гомогенен, его электрофоретическая подвижность соответствовала белку с молекулярной массой 17 кДа.

*Биотинилирование белков.* N-Оксисукциниimidный эфир биотина синтезировали согласно работе [10]. Биотинилирование BSA осуществляли по методике [11].

*Получение окисленной пероксидазы.* 5 мг пероксидазы растворяли в 1 мл воды и прибавляли 0,2 мл 0,1 М свежеприготовленного водного раствора периода натрия. Смесь инкубировали в течение 1 ч при 20° С и слабом перемешивании. Затем прибавляли 50 мкл этиленгликоля и инкубировали 2 ч в тех же условиях. Препарат диализовали против 3 mM  $\text{NaOAc}$ , pH 4,5, трижды в течение 1 ч для освобождения от низкомолекулярных реагентов и продуктов реакции.

*Получение конъюгата авидин—пероксидаза.* 5 мг авидина растворяли в 1 мл 0,2 М  $\text{NaHCO}_3$ , pH 9,0. К раствору по каплям добавляли раствор окисленной пероксидазы. Смесь инкубировали при медленном перемешивании 2 ч при 20° С. К раствору добавляли 5 мг  $\text{NaBH}_4$  и инкубировали 2 ч при 4° С. Полученный препарат диализовали против 0,05 М натрий-fosфатного буфера, pH 7,4, содержащего 0,85%  $\text{NaCl}$  (буфер A).

*Хроматографическое разделение* проводили на приборе Altex (Beckman, США), модель 332. Гель-фильтрацию препаратов конъюгатов Av—HRP осуществляли на колонке (7,5 × 600 мм) TSK G4000Sw в 0,1 М  $\text{NaOAc}$ , pH 5,0, содержащем 0,2 М  $\text{NaCl}$ , при скорости потока 0,3 мл/мин. Молекулярную массу образующихся при конъюгации слизомеров определяли методом [12], используя набор соответствующих маркерных белков.

Гидрофобную хроматографию препаратов конъюгата Av—HRP проводили на колонке (7,5 × 7,5 мм) TSK Phenyl SPW. В исходный препарат конъюгата добавляли сульфат аммония до конечной концентрации 1,5 М. Препарат хроматографировали в понижающемся градиенте сульфата аммония от 1,5 М до 0 в 0,05 М три- $\text{HCl}$ -буфере, pH 7,5, при скорости потока 0,5 мл/мин.

*Определение чувствительности конъюгатов при детекции* проводили твердофазным способом [10]. В лунки планшета (Tytterek, США) наносили в концентрациях  $10^{-1}$ ,  $10^{-2}$ ,  $10^{-3}$ ,  $10^{-4}$ ,  $10^{-5}$ ,  $10^{-6}$  мкг/мл b-BSA в 100 мкл 0,1 M карбонатного буфера, pH 9,0, и сорбировали в течение ночи при 4° С (указанные концентрации детектируемого полимера отмечены на оси абсцисс рис. 5).

Блокирование свободных мест связывания проводили 0,2% BSA в буфере A в течение 1 ч при 37° С. Конъюгат Av—HRP в буфере A с 0,1% BSA вносили в концентрации 1 мкг/мл и инкубировали 30 мин при 37° С. После отмычки буфером A, содержащим 0,1% твин-20, в лунку добавляли субстратную смесь (0,005%  $\text{H}_2\text{O}_2$ , 0,01% ABTS) в 0,1% цитратном буфере, pH 4,5. Поглощение раствора измеряли при 405 нм на многолучевом спектрофотометре Multiskan (Tytterek, США).

*Расчет теоретических значений R конъюгатов Av—HRP различной структуры* проводили исходя из значений молекулярных масс 68 и 40 кДа и величин  $A_{280}$  растворов белка с концентрацией 1 мг/мл, равных 1,54 и 1, а для  $A_{403}$  — 0 и 2,7 для авидина и пероксидазы соответственно. Значение вероятных молекулярных масс образующихся полимерных конъюгатов рассчитывали в рядах:



Другие экспериментально возможные варианты являлись производными этих значений. Теоретические значения  $R_z$  конъюгатов определяли из соотношения

$$R_z = \frac{M_{\text{HRP}}/(M_{\text{Av}_i} \cdot M_{\text{HRP}_k}) \cdot 2,7}{M_{\text{HRP}}/(M_{\text{Av}_i} \cdot M_{\text{HRP}_k}) + M_{\text{Av}}/(M_{\text{Av}_i} \cdot M_{\text{HRP}_k}) \cdot 1,54},$$

где  $M_{\text{Av}}$  и  $M_{\text{HRP}}$  — молекулярные массы авидина и пероксидазы,  $M_{\text{Av}_i}$  и  $M_{\text{HRP}_k}$  — молекулярные массы соответствующих полимерных конъюгатов.

#### СПИСОК ЛИТЕРАТУРЫ

1. Wilchek M., Bayer E. A. // Anal. Biochem. 1983. V. 171. № 1. P. 1—32.
2. Hsu S.-M., Raine L. // Advances in Immunochemistry / Ed. De Lellis. N. Y.: Masson Publ., 1983. P. 31—42.
3. Kendall C., Ionescu-Matui I., Dreesman G. R. // J. Immunol. Methods. 1983. V. 56. № 3. P. 329—339.
4. Enzyme-mediated immunoassay / Eds Ngo T. T., Lenhoff H. M. N. Y.—L.: Plenum Press, 1985. P. 174—176.
5. Nakane P. K., Kawaoi A. // J. Histochem. Cytochem. 1974. V. 22. № 3. P. 1084—1091.
6. Boorsma D. M., Streefkerk J. G. // J. Immunol. Methods. 1979. V. 30. № 1. P. 245—255.
7. O'Sullivan M. J., Gnemmi E., Morris D., Chieragatti G., Simmonds A. D., Bridges J. W., Marks V. // Anal. Biochem. 1979. V. 100. № 1. P. 100—108.
8. Melamed M., Green N. M. // Biochem. J. 1963. V. 89. № 2. P. 591—599.
9. Green N. M. // Methods in Enzymology. V. 18 / Eds McCormick D. B., Wright L. D. N. Y.: Acad. Press, 1970. P. 418—424.
10. Ильина А. В., Рабинков А. Г., Вихрева Е. В., Габибов А. Г. // Биоорган. химия. 1989. Т. 15. № 3. С. 354—357.
11. Bayer E. A., Ben-Uur H., Wilchek M. // Anal. Biochem. 1986. V. 154. № 2. P. 367—370.
12. Andrews P. // Biochem. J. 1965. V. 96. № 2. P. 595—606.

Поступила в редакцию  
11.I.1990

После доработки  
19.VII.1990

G. V. GOLOBOV, A. M. SHUSTER \*, I. K. ZALITE \*, A. G. GABIBOV,  
A. G. RABINKOV

#### SYNTHESIS AND HPLC ISOLATION OF HIGHLY SENSITIVE OLIGOMERS OF AVIDIN—PEROXIDASE

V. A. Engelhard! Institute of Molecular Biology, Academy of Sciences  
of the USSR, Moscow!

\* Institute of Applied Biochemistry, Academy of Sciences  
of the USSR, Riga

Optimal conditions for the preparation of avidin—peroxidase conjugates by the periodate method were studied. A method based on hydrophobic interaction chromatography was developed for the isolation of the active oligomers. The probable structure of oligomers with highest sensitivity is discussed.